

Государственный университет «Дубна»
Факультет естественных и инженерных наук
Кафедра ядерной физики



Основные свойства атомных ядер

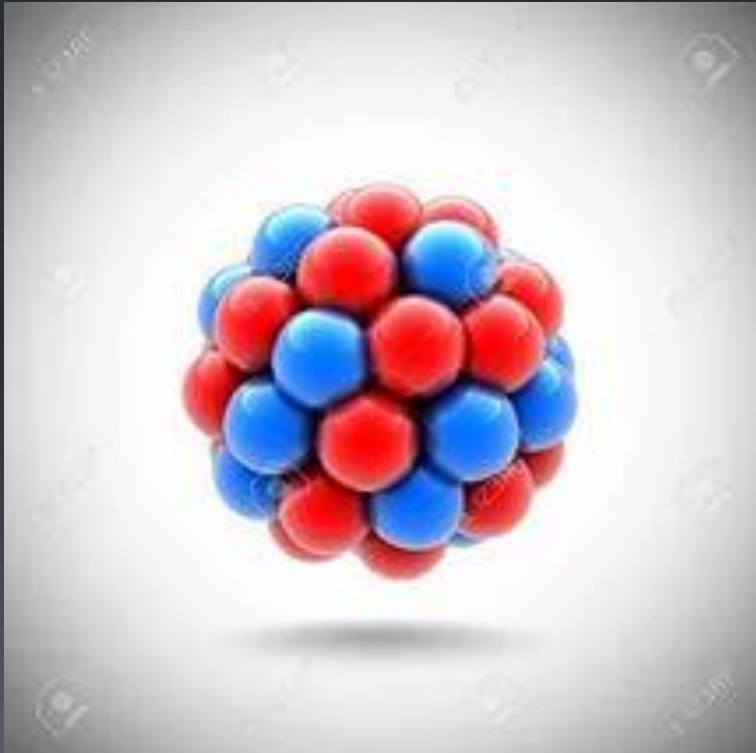
Абакумов А.М.

АТОМНОЕ ЯДРО – общие сведения



Атом состоит из ядра и электронной оболочки.

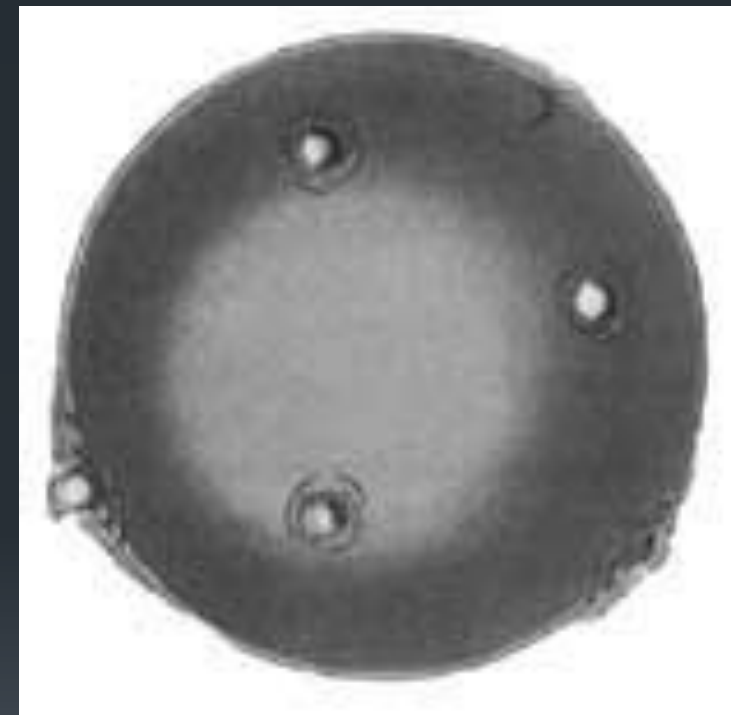
Атомное ядро – положительно заряженная центральная часть атома, в которой сосредоточена практически вся масса атома. Ядро атома состоит из нуклонов(протонов и нейтронов).



открытие ядра

Первая попытка создания модели атома принадлежит Дж.Томсону (1903). Он считал, что атом представляет собой электронейтральную систему шарообразной формы радиусом 10^{-10} м.

Положительный заряд атома равномерно распределён по всему объему шара, а отрицательно заряженные электроны находятся внутри него. Через несколько лет в опытах Э.Резерфорда было доказано, что модель Томсона неверна.



опыт Резерфорда

Первые прямые эксперименты по исследованию внутренней структуры атомов были выполнены Э.Резерфордом и его сотрудниками Э. Марсденом и Х.Гейгером в 1909–1911 годах.

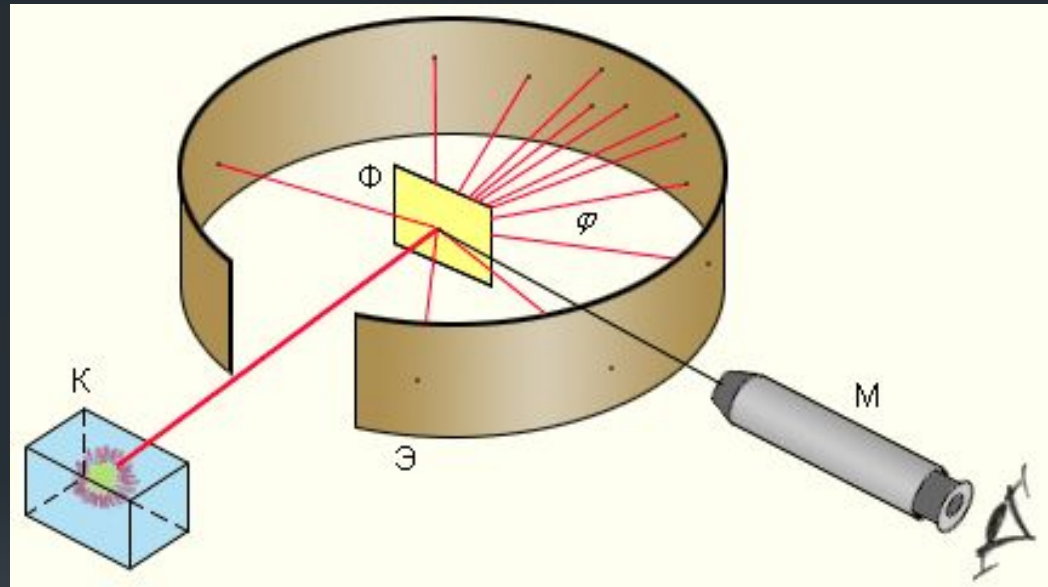
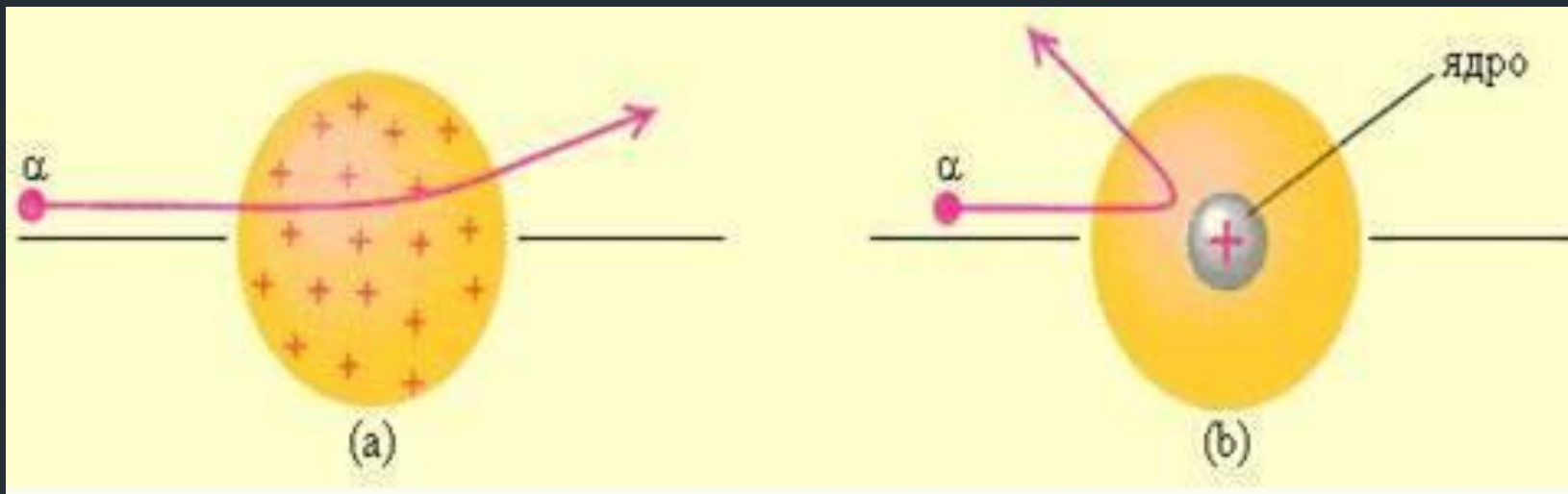


Схема опыта Резерфорда по рассеянию α -частиц.

К – свинцовый контейнер с радиоактивным веществом, Э – экран, покрытый сернистым цинком, Ф – золотая фольга, М – микроскоп.

опыт Резерфорда

Рассеяние альфа-частиц в модели Томсона (а), Резерфорда (б)



Таким образом, оказалось, что в центре атома находится плотное положительно заряженное ядро. Это ядро содержит весь положительный заряд и не менее 99,95 % его массы. Вещество, составляющее ядро атома, имеет колоссальную плотность $p \approx 10^{15} \text{ г/см}^3$. Заряд ядра должен быть равен суммарному заряду всех электронов, входящих в состав атома. Впоследствии удалось установить, что если заряд электрона принять за единицу, то заряд ядра в точности равен номеру данного элемента в таблице Менделеева.

размер ядра

На основании закона Кулона для точечных зарядов можно вычислить наименьшее расстояние r_{min} , на которое может подойти к центру ядра α -частица, летящая точно по направлению к ядру(прицельный параметр $b = 0$). Для этого следует приравнять ее начальную кинетическую энергию к потенциальной энергии взаимодействия α -частицы с ядром в момент ее полной остановки :

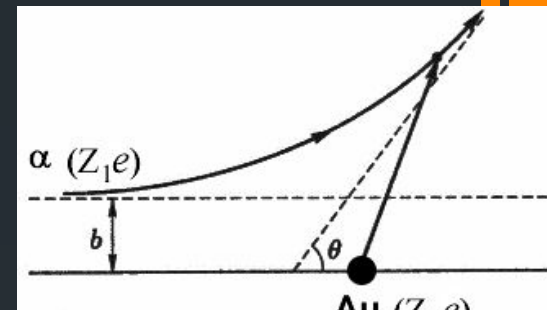
$$\frac{m_a v^2}{2} = \frac{1}{4\pi\epsilon_0} \frac{2Ze^2}{r_{min}}$$

α – частица, с энергией 5 Мэв налетала на атомное ядро золота . На этих данных было рассчитано, что минимальное расстояние , на которое может приблизиться α – частица составляет $r_{min} \approx 10^{-14}$ м=10 fm (Сивухин т5 «Атомная и ядерная физика» 2-е изд 2002.). Эта величина была принята за верхнюю оценку радиуса ядра.

В современных расчетах пользуются формулой:

$$R = r_0 A^{1/3} , \text{ где } r_0\text{-константа, } A\text{-атомный номер}$$

Для атома золота R=1,3*197^{1/3} fm=7,54 fm



Рассеяние α -частицы на атомном ядре (Au).

Упругое рассеяние электронов

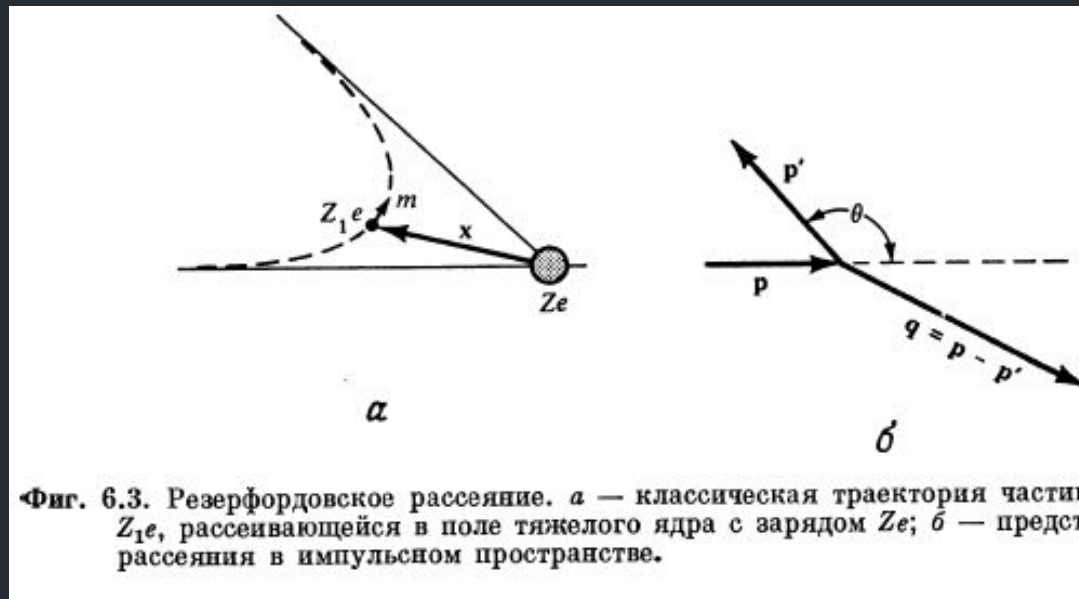
Всякое дифференциальное эффективное сечение рассеяния можно записать в виде:

$$\frac{d\sigma}{d\Omega} = |f(q)|^2 , \text{ где } f(\theta) -$$

амплитуда рассеяния,

$q = 2ps \sin\left(\frac{\theta}{2}\right)$ передаваемый при рассеянии импульс.

Амплитуду рассеяния в таком случае можно записать в виде:



Фиг. 6.3. Резерфордовское рассеяние. а — классическая траектория частицы с зарядом Z_1e , рассеивающейся в поле тяжелого ядра с зарядом Ze ; б — представление акта рассеяния в импульсном пространстве.

$$f(q) = -\frac{m}{2\pi h^2} \int V(x) \exp\left\{i \frac{qx}{h}\right\} d\nu , \quad V(x) - \text{потенциал, на котором происходит рассеяние}$$

$$f(q^2) = -\frac{2m}{hq} \int V(x) \sin(qx/h) dx$$

$$V(x) = \frac{ZZe^2}{x} \exp(-x/a), \quad a - \text{длина порядка атомных размеров}$$

$$f(q^2) = -\frac{2mZ_1Ze^2}{q^2 + (h/a)^2} ,$$

если $q \gg h/a$, то $\frac{d\sigma}{d\Omega} = \frac{4m^2}{q^4} (Ze^2)^2$

Упругое рассеяние электронов

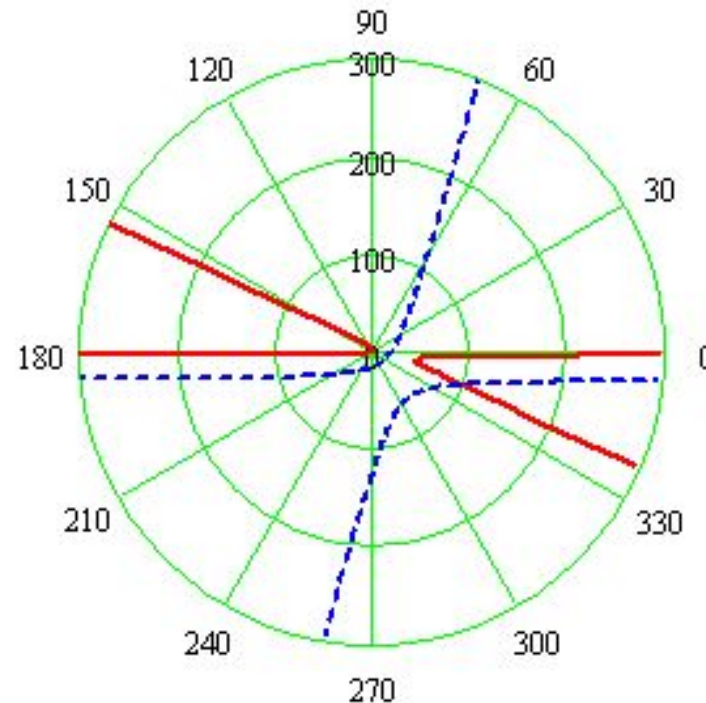
Пример расчетов в MathCAD:

$$E = 5 \text{ MeV}$$

$$Z1 = 2$$

$$Z2 = 79$$

$$\begin{aligned} P & \\ \frac{P}{(-1+e \cdot \cos(\phi+\alpha))} & \\ P1 & \\ \frac{P1}{(-1+e1 \cdot \cos(\phi+\alpha1))} & \end{aligned}$$



Классическая картина столкновения ядер

${}^4\text{He} + {}^{197}\text{Au}$ для энергии $E_{\text{ц.м.}} = 5 \text{ МэВ}$,

Формула Мотта

Формула Мотта: $\frac{d\sigma}{d\Omega_{\text{Мотт}}} = 4(Ze^2)^2 \frac{E^2}{(qc)^4} (1 - \beta^2 \sin(\theta/2)^2)$, где Е-энергия падающего электрона, $\beta = \frac{v}{c}$

$\frac{d\sigma}{d\Omega} = \frac{d\sigma}{d\Omega_{\text{Мотт}}} |F(q^2)|^2$, где $F(q^2) = \int \rho(r) e^{\frac{i\vec{q}\cdot\vec{r}}{\hbar}} d^3r$ - формфактор

Эксперимент . Сравнение

Теория

$$\frac{d\sigma}{d\Omega} \rightarrow |F(q^2)| \Leftrightarrow F(q^2) \leftarrow \rho(\mathbf{r}) \leftarrow \psi(\mathbf{r}) \leftarrow \text{Уравнение Шредингера.}$$

ПЛ

 $\rho_m(r)$, ферми⁻³

Широков, Юдин "ядерная физика" (2-е изд.), 1980 г

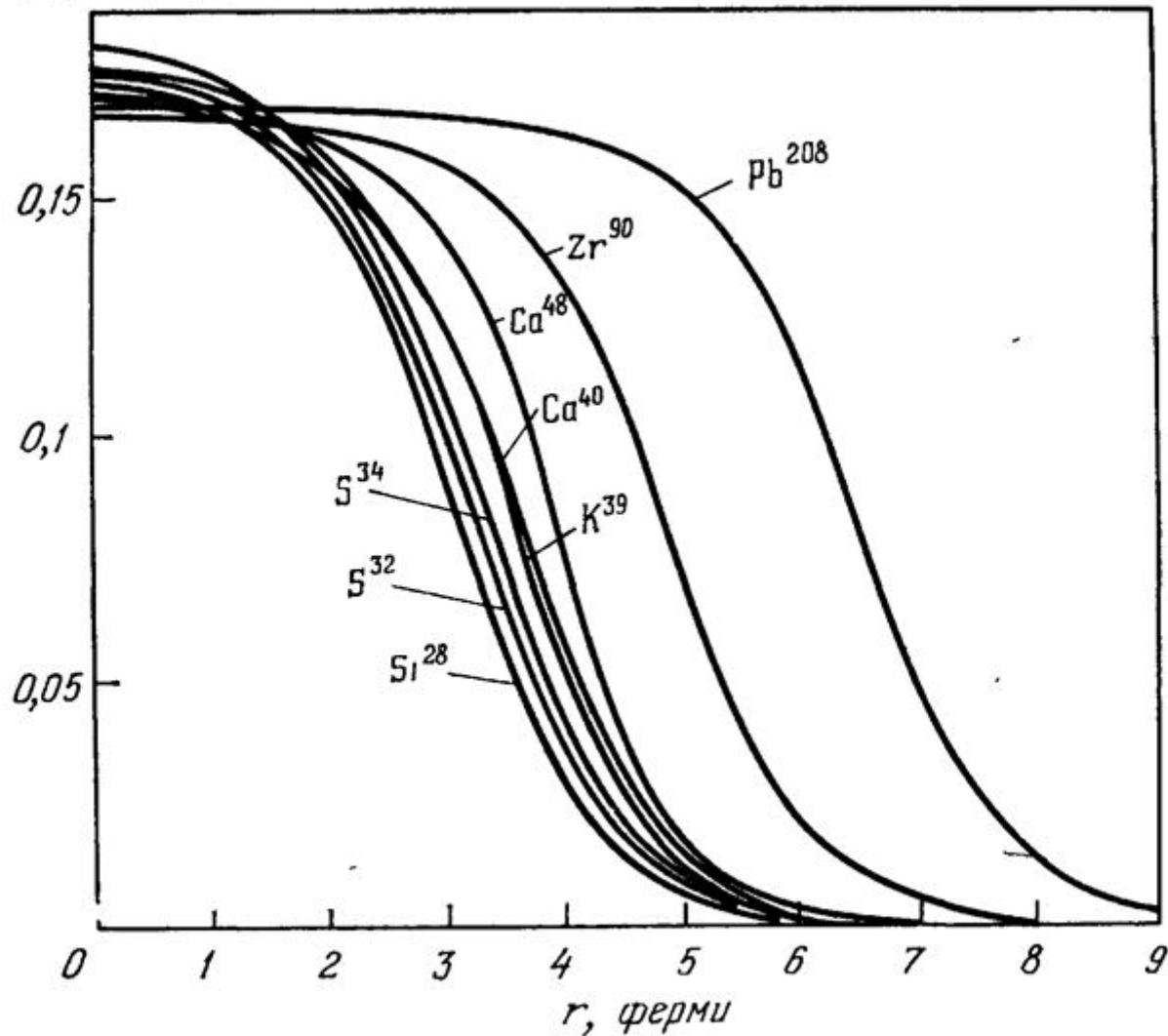


Рис. 2.17 Распределение плотности $\rho_m(r)$ ядерного вещества в атомных ядрах.

9]

Плотность распределения заряда в атомном ядре (пример из NRV)

The screenshot shows a web-based interface for the element Oxygen-16 (O-16). The main content area displays various properties of O-16, including its binding energy, radius, and decay modes. A central feature is a large atomic symbol for O-16.

Nucleus Data:

- Binding energy (MeV):** Experiment [2] = -4.73700137, Theory [4] = -5.150, Sh.core [4] = (0.0000016).
- g.s. Radius & Deformation:** $R^2_{\text{opt}} = 2.8991 \pm 0.0052 \text{ fm}$ [3].
- Charge-density Distribution:** [8]

Excited States: Click on a plot to process it. The excited states listed include:

- 10957 keV 0+
- 10356 keV 4+
- 9885 keV 2+
- 9383 keV 1+
- 8871.9 keV 2-
- 7419.1 keV 1+
- 6349.8 keV 0+
- 0 keV 0+

Known and possible Decays:

- Stable
- 16 O

Q-values (keV): roman [2], italic [4]

Decay Mode	Q-value (keV)
α -decay	-7161.90
β^- -decay	-15417.22
β^+ -decay	-11442.94
ϵ -capture	-10420.94
$1p$ - sep.an.	-12127.44
$2p$ - sep.an.	-22334.99
$1n$ - sep.an.	-15883.91
$2n$ - sep.an.	-28887.08
$2p^-$ -decay	-28723.09
β^- n	-28615.08
β^+ n	-52843.98
β^- d	-25880.12
β^+ t	-42802.21
β^- a	-24499.94
β^- n,a	-39538.81
ECP	-21899.18
ECzp	-42978.72
ECa	-20531.35

Metastable states and Resonances:

State Type	Energy (keV)	Half-life (T _{1/2})	Intensity (%)
IT	0.0000087%	0.420 MeV	100%
IT	0.0016%	0.001 MeV	100%
IT	0.0024%	0.028 MeV	100%
IT	0.002%	11098.7 keV	100%
a	11280 keV	2.500 MeV	100%
IT	0.0000048%	0.071 MeV	100%

Radiation energies (keV):

- Capture scattering: $\sigma(b)$ = 0.00, $\mu(nm)$ = +1.668(12), $Q(b)$ = 8130, $B(E2) = 0.00371(38) e^2 b^2$, $\beta_2^0 = 0.349(18)$.
- $B(E3) = 0.00148(5) e^2 b^3$, $\beta_3^0 = 0.729(0)$.

El.-Magn. properties:

- $E = 9885 \text{ keV}$, $T_{1/2} = 0.420 \text{ MeV}$, $I_T = 0.0000087\%$, α , 100%.
- $E = 9844.5 \text{ keV}$, $T_{1/2} = 0.001 \text{ MeV}$, $I_T = 0.0016\%$, α , 100%.
- $E = 10356 \text{ keV}$, $T_{1/2} = 0.028 \text{ MeV}$, $I_T = 0.0024\%$, α , 100%.
- $E = 11098.7 \text{ keV}$, $T_{1/2} = 0.002 \text{ fs}$, $I_T = 0.002\%$, α , 100%.
- $E = 11280 \text{ keV}$, $T_{1/2} = 2.500 \text{ MeV}$, $I_T = 100\%$.
- $E = 11520 \text{ keV}$, $T_{1/2} = 0.071 \text{ MeV}$, $I_T = 0.0000048\%$, α , 100%.

Bottom status bar: javascript:void(0), 17:30, ENG, 03.03.2017, nrv.jinr.ru/nrv/webnrv/map/, Monte-Carlo, Data, 17:28, ENG, 03.03.2017.

Плотность распределения заряда в атомном ядре (пример из NRV)

$\langle r^2_{\text{ch}} \rangle^{1/2}$ -среднеквадратичный зарядовый радиус,

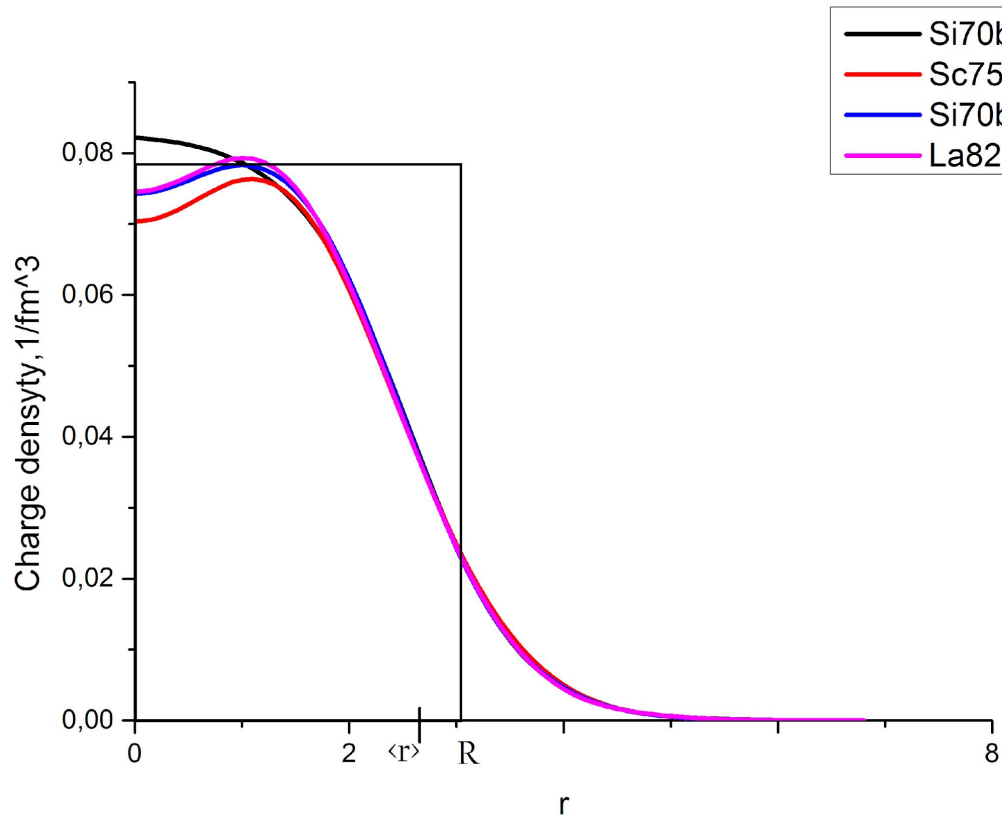
$$\langle r^2_{\text{ch}} \rangle = \int d^3r r^2 \rho(r) = 4\pi \int_0^R \frac{3r^4 dr}{4\pi R^3} = \frac{3}{5} R^2 , \text{ где } R-\text{радиус ядра}$$

			g.s. Radius ^[3] & Deformation ^[4]
Experiment [2]	Theory [4]	Sh.corr. [4]	
700137 00016)	-5.150		$\langle R^2_{\text{ch}} \rangle^{1/2} = 2.6991 \pm 0.0052 \text{ fm}$ [3] Charge-density Distribution [6]
27.619	128.032	2.420	$\beta_2 = -0.010$ $\beta_3 = -0.258$ $\beta_4 = -0.122$ $\beta_6 = 0.047$
7.976	8.002		
vs ^[1]			Q-values (keV) roman [2], italic [4]
16	O		α - decay -7161.90 β^- - decay -15417.22 β^+ - decay -11442.94 e-capture -10420.94 1p - sep.en. -12127.44 2p - sep.en. -22334.89 1n - sep.en. -15663.91 2n - sep.en. -28887.06 $2\beta^-$ - decay -28723.09

Плотность распределения заряда в атомном ядре (пример из NRV)

■ $\langle r^2_{\text{ch}} \rangle^{1/2}$ -среднеквадратичный зарядовый радиус,

$$\langle r^2_{\text{ch}} \rangle = \int d^3r r^2 \rho(r) = 4\pi \int_0^R \frac{3r^4 dr}{4\pi R^3} = \frac{3}{5} R^2 , \text{ где } R-\text{радиус ядра}$$



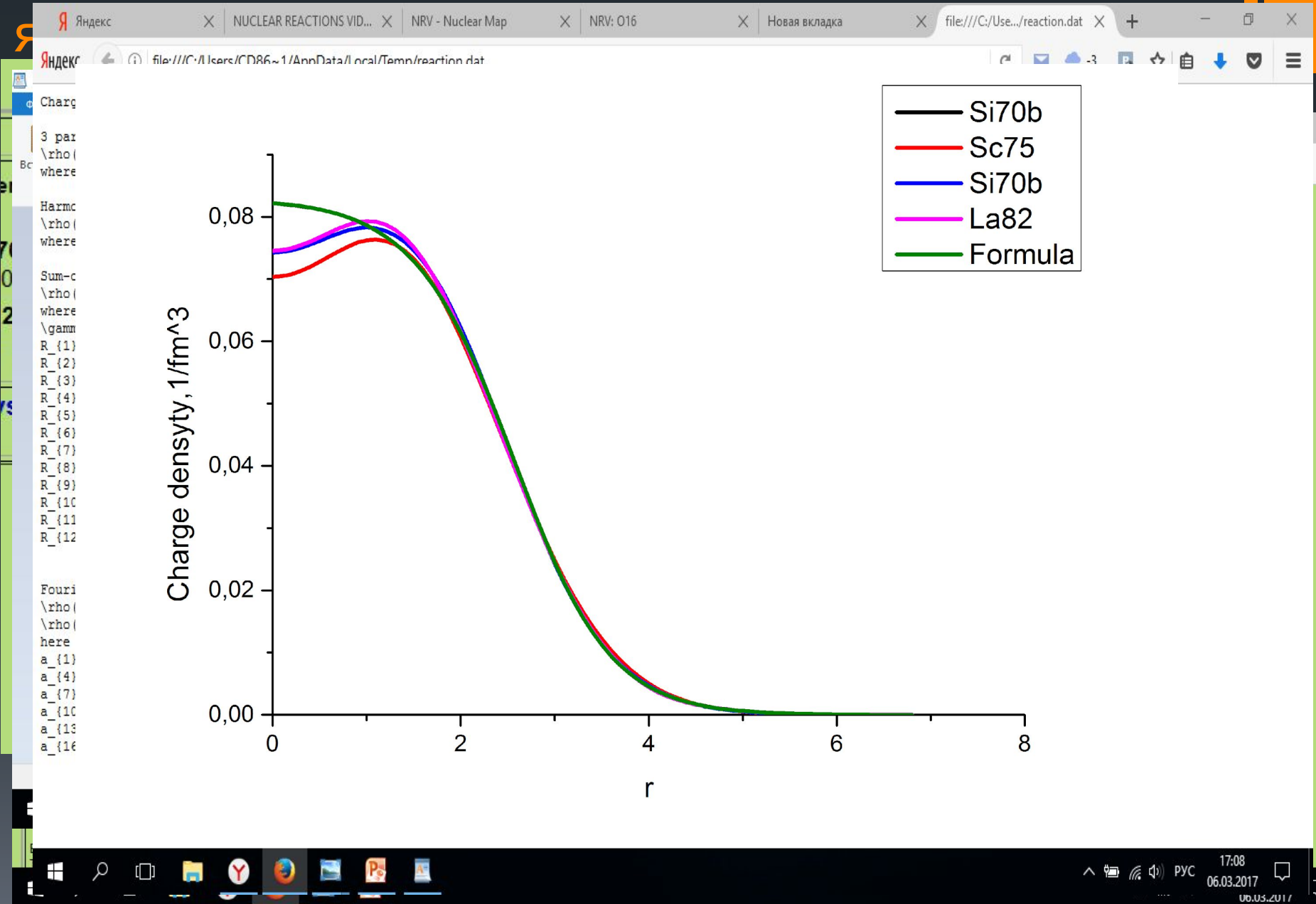
$\beta^{[3]} & \text{Deformation}^{[4]}$

$6991 \pm 0.0052 \text{ fm}$ [3]
[Nuclei Distribution \[6\]](#)

$\beta^{[3]}$ $\text{Metalic}^{[4]}$

-7161.90
-15417.22
-11442.94
-10420.94
-12127.44
-22334.89
-15663.91
-28887.06
-28723.09

Плотность распределения заряда в атомном



Список литературы:

- Б.С.Ишханов ,И.М.Капитонов, Н.П.Юдин «Частицы и атомные ядра» ,с.197-203.
- И.Н.Бекман «Ядерная физика, лекция 4, атомное ядро» ,с. 1-24.
- Г.фраунфельдер, Э.Хенли «Субатомная физика» , с 162-180.
- Широков Ю.М. ,Юдин М.П. «ядерная физика» (изд.2е)-1980
- Сивухин т5 «Атомная и ядерная физика» 2-е изд 2002